

VIII, Grundzüge der QM von Vielteilnersystemen

bisher $N=1$, 1T-SGL VIII.1. N-T-SGL

jetzt: N Elektronen: SGL gültig

$$\hat{H}_N = \sum_{i=1}^N \left(\frac{\hbar^2}{2m} \nabla_i^2 + U(\underline{r}_i) \right) + \frac{1}{2} \sum_{\substack{i=1 \\ j \neq i}}^N U_{ij}$$

$$U_{ij} = U(|\underline{r}_i - \underline{r}_j|)$$

$$i\hbar \partial_t |\Psi_N(t)\rangle = \hat{H}_N |\Psi_N(t)\rangle$$

Ortsdarstellung: $\langle \underline{r}_1 \dots \underline{r}_N |$

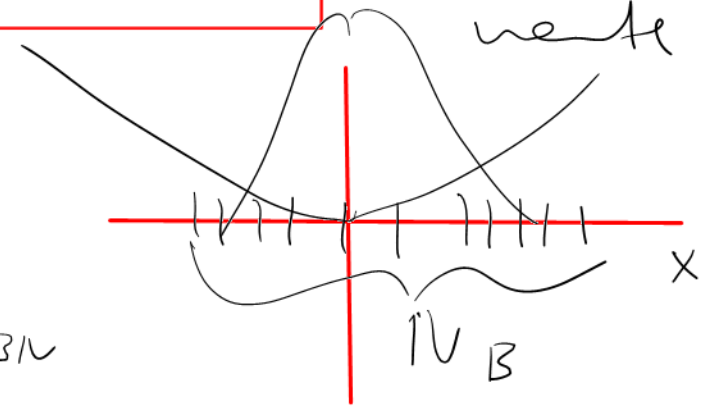
WF $\Psi_N(\underline{r}_1, \underline{r}_2, \dots, \underline{r}_N, t)$: $3N$ Argumente

$$\langle \underline{r}_1 \dots \underline{r}_N | = \langle \underline{r}_1 | \langle \underline{r}_2 | \dots \langle \underline{r}_N |$$

$\underbrace{\hspace{10em}}_{3N}$

Ψ_N : Vektor des dim N_B

$\hat{A} \rightarrow A_{\mu\nu}$: Matrix des $N_B^{3N} \times N_B^{3N}$



expon. Skalierung der Systemgröße mit N

\Rightarrow Näherung erforderlich

Einfluss der WW: Korrelationen, Abweichung von Faktoris.

Ohne WW: $\psi(r_1, t) \cdot \psi(r_2, t) \dots$
Produkt

VIII.2 - Symmetrie der Wellenfunktion

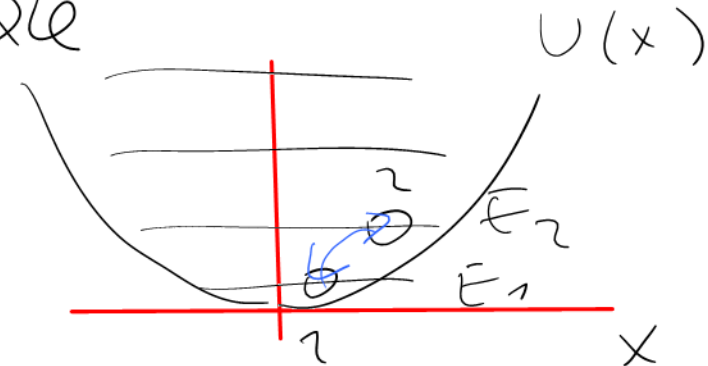
- Unterschiede in ψ_N für Fermione / Bosone
- Symmetrie-Eigenschaften der Wellenfunktion

$N=2$ $\underline{r_1}, \underline{r_2}$

(ohne WW)

? Austausch der Teilchen

$$\psi(\underline{r}_1, \underline{r}_2) \xrightarrow{\hat{P}_{12}} \psi(\underline{r}_2, \underline{r}_1)$$



? Einfluss auf

\hat{H} invariant \rightarrow \hat{P}_{12} Observable

\hat{P}_{12} beeinflusst Physik nicht

$[\hat{P}_{12}, \hat{H}] = 0 \rightarrow \hat{P}_{12}, \hat{H}$ haben gemeinsame E -Zustände

Eigenwerte von \hat{P}_{12} : $\hat{P}_{12}^2 = 1$
o $\hat{P}_{12}^+ = \hat{P}_{12} \rightarrow$ EW reell (λ_{12})

gem. EW-Problem: $\hat{H}_{12} |\psi(12)\rangle = E_{12} |\psi(12)\rangle$

$\hat{P}_{12} |\psi(12)\rangle = \lambda_{12} |\psi(12)\rangle$

$\hat{P}_{12}^2 |\psi(12)\rangle = \lambda_{12}^2 |\psi(12)\rangle$

$= |\psi(12)\rangle$

$\Rightarrow \lambda_{12} = \begin{cases} 1 \\ -1 \end{cases}$

\sum Paar-Permut.

N : Teilmengen $: N!$, Permut. darstellbar durch

N_p Paupermut.

+ N_p gerade $-$, N_p ungerade

Symmetriepostulat: N identische Teilchen werden nur durch vollständig symm. o. antisymm. WF beschrieben

Spinstatistik-Theorem (W. Pauli 1939)

Antisymm.-WF \Leftrightarrow Fermionen (s. halbzahlig)

Symm. WF \Leftrightarrow Bosone (ganzzahlig)

3. Fall von composite (zusammengesetzt) Teilchen

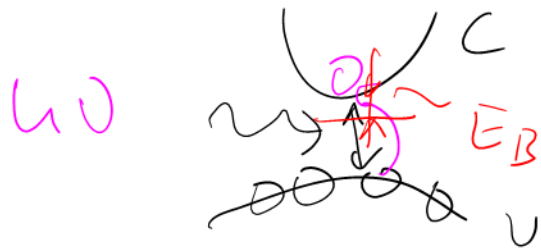
Komplex verstrukturierte Elementarteilchen verhalten sich wie einzelne Teilchen mit Gesamt-

$$S_{pi-} = \sum_i S_i$$

Bsp.: 0 Nukleone $\left. \begin{matrix} p \\ n \end{matrix} \right\}$ je 3 Quarks (= Fermione)
 = Fermione

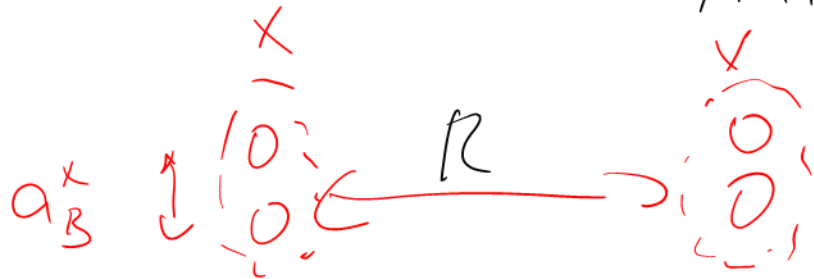
0 Kerne: gerade Zahl Nukleone \rightarrow Boson
 ungerade " " " \rightarrow Fermion

0 Halbleiter



Anregung äquivalent zu Erzeugung
 Posives Elektron + Loch (+e)

Achtung! Carlow-WU $e^- - h^+$



Möplid: Bindf. Zustand \downarrow
 (H-ähnlich)
 = Exziton

$\hat{=}$ boson

gilt bei starker Abtiefung

bei Abstieg $\mathbb{R} \subseteq \mathbb{C} \subseteq \mathbb{R}^x$
 Fermionindg (innere)
 Struktur wichtig

4. Struktur der Wellenfunkt. Slater-Determinante /
-Permutation

für nicht WW-Teilchen

von (A-ti) Symmetrie: $|\Psi(12)\rangle = |\Psi(1)\rangle \cdot |\Psi(2)\rangle$

Bsp. Ortsdarst.: $\Psi(\underline{r}_1) \stackrel{\cong}{=} T_1 \sim \text{Ort } \underline{r}_1 \text{ in } |n_i s_i\rangle$

$\Psi(\underline{r}_2) \stackrel{\cong}{=} T_2 \quad \parallel \parallel \quad \underline{r}_2$
 $n_i s_i$

Bsp. $N=2$, $\Psi_{n_1 s_1, n_2 s_2}^S(\underline{r}_1, \underline{r}_2) = \frac{1}{\sqrt{2}} \left\{ \Psi_{n_1 s_1}(\underline{r}_1) \Psi_{n_2 s_2}(\underline{r}_2) + \Psi_{n_1 s_1}(\underline{r}_2) \Psi_{n_2 s_2}(\underline{r}_1) \right\}$

$\Psi_{n_1 s_1, n_2 s_2}^A(\underline{r}_1, \underline{r}_2) = \frac{1}{\sqrt{2}} \left\{ \dots \right\}$

Sei $n_2 = n_1, s_2 = s_1$ beide Protonen identisch

$$\psi_{n_1 s_1, n_1 s_1}^A(r_1, r_2) = 0$$

nicht realisierbar

"Pauli-Prinzip" : 2 Fermionen nicht in selbe Zustand

für Fermione identisch

$$= \frac{1}{\sqrt{2}} \begin{vmatrix} \psi_{n_1 s_1}(r_1) & \psi_{n_1 s_1}(r_2) \\ \psi_{n_2 s_2}(r_1) & \psi_{n_2 s_2}(r_2) \end{vmatrix}$$

"Slater-Def."

o selbe Struktur für $N \geq 2$ $N \times N$ $N \times N$

o für Bosone: ψ^S "Slater-Permanente"

5. Wellenfkt. bei WW.

$$|\psi^A(r_1, r_2, \dots, r_N)\rangle = |\psi^{A \text{ id}}(r_1, \dots, r_N)\rangle + \delta |\psi^A(\dots)\rangle$$

Sl. - Def korrektur

verwende Slater-Def als Basis in \mathcal{H}^-

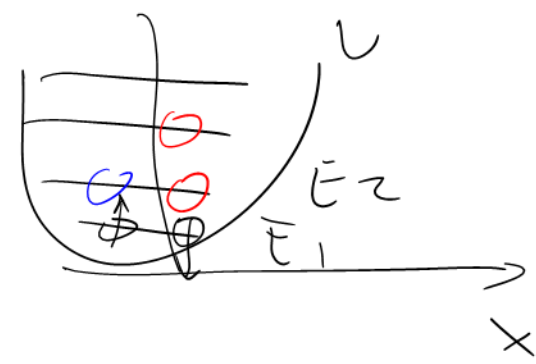
(Fock-Raum) enthält
ant-symmetrische
Zustände

and of \mathcal{H}^+ (symmetrische
Zust.)

? Welche Slaterdet bildet Basis?

$$N=2$$

mit WW: z-sähl. Energie-Beiträge



Basis: Ψ^A des nicht-WW-Systems (alle Slaterdet)

$$|\Psi^A(r_1, r_2, \dots, r_N)\rangle = \sum_I C_I |\Psi_I^{\text{id}}(r_1, r_2, \dots, r_N)\rangle$$

alle möglichen Kombinationen

mit Stärke der WW

wächst Zahl der Summande

- Verbleibe: exakte Diagonalisierung (Configuration Interaction, CI)

exponentielle Skalierung mit Basisgröße N_B

- andere Verbleibe bestimme C_I sowie Dubitate (Faktoren) mit WW her dadurch: weitere Summande

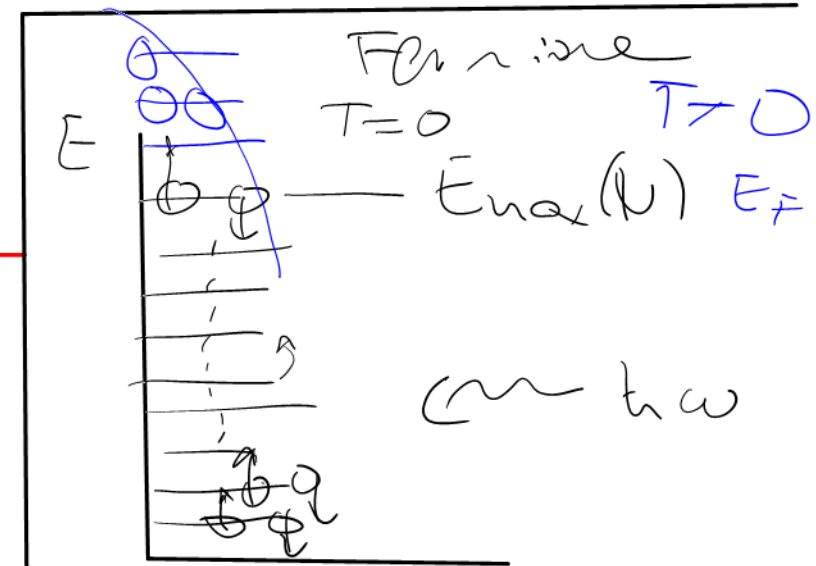
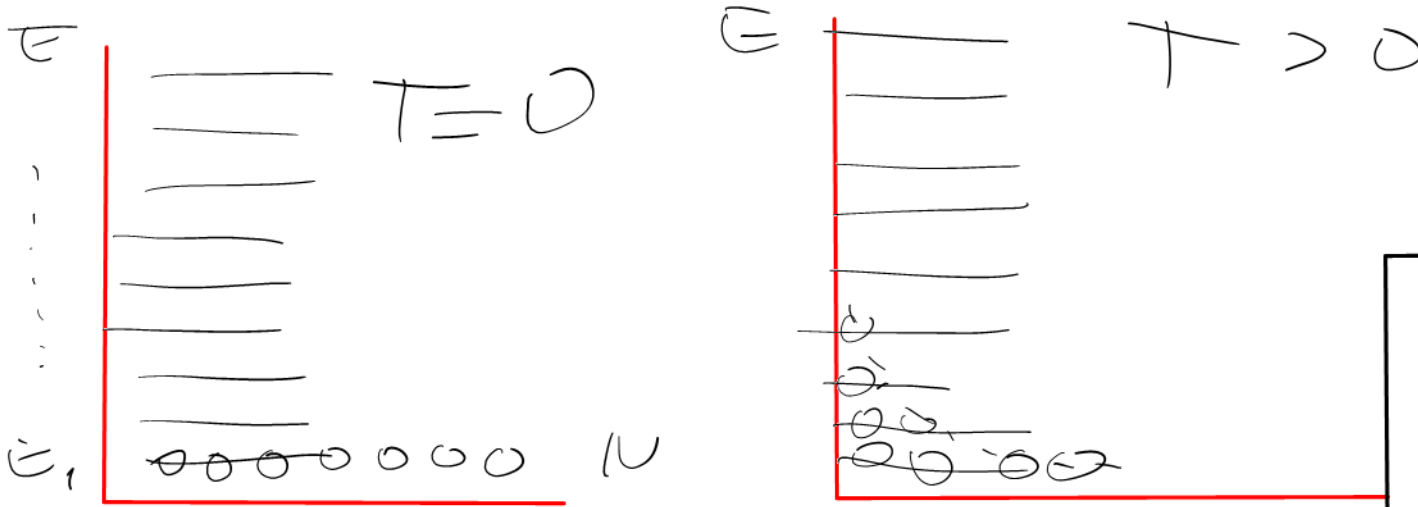
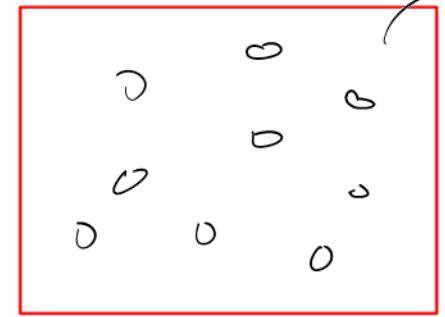
Multiconfiguration Hartree-Fock

6. Konsequenz der (A-Ti) für Hartree-Fock Systeme

Spezialfall der Hartree-Fock-Systeme Beobachtung

behandelt Fall endlicher Temp. T

Bosone ohne WW



? welche Niveaus nehmen

N Teilchen ϵ_i ?

\Rightarrow sind selbst überlassenes System (isoliert)

steht zum n_i -Energie

"Pauli blockig" nur
Austausch in unbesetzten Zuständen

Bosone: alle i-Gr "Bose-Einstein" (T=0)
 mit WW: einzelne Teilchen
 i-angewandte Zustände
 $E_{Ges} = N \cdot \underbrace{\varphi}_{E_1}$

$E_{Ges} \sim N^\alpha$
 $E_{max}(N) = E_F \sim \left(\frac{N}{V}\right)^{2/3}$
 Fermi-Energie

Astrophysik: kompakte Sterne

$n \sim 10^{30} \text{ cm}^{-3}$ (Ferkörper: $\sim 10^{23} \text{ cm}^{-3}$)

Gravitation: bevorzugt Kohäsion in Zentren, $R=0$
 \rightarrow Kollaps, ? was wird dabei?

